



بیست و یکمین کنفرانس اپتیک و فوتونیک ایران
و هفتمین کنفرانس مهندسی و فناوری فوتونیک ایران
۲۳ تا ۲۵ دی ماه ۱۳۹۳، دانشگاه شهید بهشتی



مانستگی بین محیط لایه‌ای ناهمسانگرد با محورهای نوری متغیر و فضا-زمان خمیده برای پرتو غیرعادی

سیدعلیرضا موسوی^۱، رسول رکنی‌زاده^۱ و شهرام دهدشتی^۲

۱- گروه فیزیک، گروه پژوهشی اپتیک کوانتومی، دانشگاه اصفهان، ایران-اصفهان- خیابان هزارجریب

۲- مرکز الکترومغناطیس در دانشگاه زجیانگ، دانشکده علوم اطلاعات و مهندسی الکترونیک، آزمایشگاه تجهیزات مدرن
اپتیکی، دانشگاه زجیانگ، چین، هانزو

چکیده - در اپتیک تبدیل، ما در جستجوی مانستگی فضا-زمان خمیده و محیط‌های ناهمسانگرد تطبیق امیدانسی هستیم. اما این مانستگی در محیط‌های غیر تطبیق امیدانسی در نظر گرفته نشده است. در این مقاله، یک ساختار ریاضی مبتنی بر معادله‌ی موج ویژه مقداری برای تعیین مسیر نور در محیط‌های شامل لایه‌های ناهمسانگرد بنا می‌شود. خواهیم یافت که پرتو غیر عادی این محیط را همانند فضا-زمان خمیده‌ای با متریک وابسته به جهت گیری محورهای اپتیکی می‌بیند.

کلید واژه- پرتو غیرعادی، فضا-زمان خمیده، معادله موج ویژه مقداری، محیط ناهمسانگرد الکتریکی

Analogy between anisotropic layered media with variable optical axes and curve space-time for extra ordinary ray

Sayed Alireza Mousavi¹, Rasoul Roknizadeh¹, and Shahram Dehdashti²

¹ Department of Physics, Quantum Optics Group, University of Isfahan, Isfahan, Iran

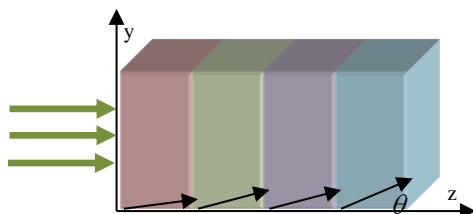
² The Electromagnetics Academy at Zhejiang University, Department of Information Science & Electronic Engineering, State Key Laboratory for Modern Optical Instrumentation, Zhejiang University, Hangzhou 310027, China

Abstract- In Transformation Optics we search an analogy between curved space-time and impedance-matched media. But this analogy in non-impedance-matched media is not considered in literature. In this paper we develop a mathematical structure based on an eigenvalue wave equation for determining the direction of light in anisotropic layered media. We find that the layered media with variable optical axes is appeared as curved space-time, with an axes-dependent metric, for extraordinary ray.

Keywords: curve space-time, electric anisotropic media, extra ordinary ray

۱- مقدمه

استفاده از حل معادله موج ویژه مقدری انجام خواهیم داد و راهی جدید در دو حوزه مطالعات مواد ناهمسانگرد و مانسته سازی محیط های اپتیکی با فضا-زمان های خمیده خواهیم گشود.



تصویر (۱): سامانه ای از لایه های ناهمسانگرد که راستای محوری اپتیکی آنها با یکدیگر متفاوت است این محیط را می توانیم تقریبی از یک محیط ناهمسانگرد با محور اپتیکی متغیر در نظر بگیریم که راستای محور اپتیکی بصورت تابعی از z تغییر میکند.

۲- روش معادله موج ویژه مقدری

معادله ی موج برای میدان الکتریکی در محیط ناهمسانگرد با استفاده از معادلات ماکسول بصورت زیر است [16]:

$$\vec{k} \times \vec{\mu}^{-1} (\vec{k} \times \vec{E}) = k_0 \vec{E} \quad (1)$$

که در به دست آوردن رابطه ی فوق فرض شده است $\vec{D} = \epsilon_0 \vec{E}$ ، $\vec{B} = \mu_0 \vec{H}$ و وابستگی فازی میدانها با فضا و زمان بصورت $\exp(i\vec{k} \cdot \vec{r} - i\omega t)$ است.

برای حالت هایی که راستای بردار موج در محیط مشخص باشد، مدهای نرمال با استفاده از شکل ویژه مقدری معادله ی موج برای چگالی شار الکتریکی، بدست می آید [17]. معادله (۱) در شکل ویژه مقدری بصورت زیر در می آید:

$$\hat{U} \times \vec{\xi} (\hat{U} \times \vec{\eta} \vec{D}) = -\frac{1}{n^2} \vec{D} \quad (2)$$

$$\hat{U} = \vec{k}/k_0, \quad \vec{\eta} = \vec{\epsilon}^{-1}, \quad \vec{\xi} = \vec{\mu}^{-1}$$

همچنین معادله موج ویژه مقدری برای چگالی شار مغناطیسی بصورت زیر بدست می آید:

$$\hat{U} \times \vec{\eta} (\hat{U} \times \vec{\xi} \vec{B}) = \frac{1}{n^2} \vec{B} \quad (3)$$

نمای تانسوری رابطه (۲) در حل مسائل بصورت کلی زیر در می آید:

طراحی و ساخت محیط های اپتیکی که پدیده های مربوط به نسبیت عام اینشتین در آن قابل مشاهده و بررسی باشد، از دیرباز مورد توجه فیزیک پیشه گان بوده است و تلاش های زیادی در این مورد انجام شده است. در این زمینه محیط های متحرک مهم ترین سامانه هایی هستند که تاکنون رفتار نور و صوت در آنها بدین منظور بررسی شده است [1].

با مطرح شدن اپتیک تبدیل و تناظر بین محیط های اپتیکی تطبیق امپدانسی با هندسه ی فضا-زمان [2,3]، مانسته سازی فضا-زمان های خمیده و محیط های ایستا مورد توجه بیشتری قرار گرفته است [4-6]. از جمله می توان به مانسته سازی نسبیت خاص و فضاهای خمیده در محیط هایی شامل لایه های نازک همسانگرد، اشاره کرد [7]. همچنین قدرت بسیار بالای این روش کاربردهای بسیار وسیع آن را در بسیاری از شاخه های فناوری از جمله نامرئی سازی و استتار و مانند آنها، باعث شده است [8-10]، که این پیشرفت مدیون پیشرفت هایی است که در طراحی و ساخت محیط هایی با خصوصیات اپتیکی متفاوت و قابل کنترل در حوزه فن آوری نانو و فرامواد بدست آمده است [11].

گرچه اپتیک تبدیل عموماً به هندسه فضا-زمان در محیط های ناهمسانگرد می پردازد اما فقط محدود به محیط های تطبیق امپدانسی است و در مورد محیط های غیر تطبیق امپدانسی نظری نمی دهد. در صورتی که به نظر می رسد با بررسی مسیر انتشار انرژی در محیط های ناهمسانگرد می توان سامانه هایی متشکل از محیط های ناهمسانگرد طراحی کرد که فضا-زمان خمیده ای را برای نور، بویژه برای پرتوهای غیرعادی، مانسته سازند. زیرا راستای انتشار پرتوهای غیرعادی برخلاف پرتوهای عادی به زاویه ی بین بردار موج و محورا اصلی بستگی دارد، بنابراین پرتو غیرعادی در محیط ناهمسانگردی مانند شکل (۱) که محورهای اصلی آن نسبت به بردار موج نور متغیر باشد، مسیر خمیده طی می کند.

در این مقاله با محاسبه راستای انتشار انرژی، متریک فضا-زمان خمیده ای که پرتو غیرعادی در چنین سامانه ای احساس می کند را بدست می آوریم. این محاسبات را با

داده شده ممکن برای انتشار نور از این لایه با فرض اینکه لایه فقط از نظر الکتریکی ناهمسانگرد باشد، یعنی $\vec{\mu} = 1$ ، بررسی می‌شود. با توجه به اینکه محورهای اصلی بر محورهای مختصات منطبق نیستند تانسور $\vec{\epsilon}$ غیر قطری است و طبق رابطه زیر از تانسور قطری ϵ_i بدست می‌آید:

$$\vec{\epsilon}_f = \vec{A} \vec{\epsilon}_i A^T \quad (8)$$

که تانسور A چرخش محورهای مختصات را نسبت به محورهای اصلی برحسب زوایای اویلر بیان می‌کند [18]. در این مسئله محورهای مختصات نسبت به محور نوری به اندازه‌ی زاویه‌ی θ در جهت عقربه‌های ساعت حول محور x چرخیده‌اند، بنابراین:

$$\vec{A} = \vec{R}_x(-\theta) \quad (9)$$

با استفاده از روابط قسمت قبل ویژه مد‌ها و ضرایب شکست و راستای انتشار محاسبه می‌شوند. این محاسبات دو ضریب شکست را نشان می‌دهند، یکی از آنها مستقل از جهت گیری محور نوری است و ضریب شکست عادی نامیده می‌شود:

$$n^2 = \epsilon_1 = n_1^2 \Rightarrow \vec{D} = \begin{pmatrix} D_x \\ 0 \\ 0 \end{pmatrix} \rightarrow \vec{S} = \begin{pmatrix} 0 \\ 0 \\ 1 \end{pmatrix} \quad (10)$$

همانطور که مشخص است این همان مد TE است که قطبش عمود بر صفحه را دارد و راستای انتشار و راستای بردار موج برای آن برهم منطبق هستند. ضریب شکست دوم و مد نرمال آن به شکل زیر بدست می‌آیند:

$$n^2 = \frac{\epsilon_2 \epsilon_3}{\epsilon_2 \sin^2 \theta + \epsilon_3 \cos^2 \theta} \Rightarrow \vec{D} = \begin{pmatrix} 0 \\ D_y \\ 0 \end{pmatrix} \quad (11)$$

این ضریب شکست به زاویه‌ی بین محور اپتیکی و راستای بردار موج بستگی دارد و مربوط به میدان الکتریکی با قطبش در صفحه است که به آن ضریب غیرعادی و مد مرتبط با آن را پرتو غیر عادی می‌گویند. راستای انتقال انرژی برای این مد بصورت زیر است:

$$\begin{pmatrix} M_{1,1} & M_{1,2} & M_{1,3} \\ M_{2,1} & M_{2,2} & M_{2,3} \\ M_{3,1} & M_{3,2} & M_{3,3} \end{pmatrix} \begin{pmatrix} D_x \\ D_y \\ D_z \end{pmatrix} = -\frac{1}{n^2} \begin{pmatrix} D_x \\ D_y \\ D_z \end{pmatrix} \quad (4)$$

که برای داشتن جواب غیربدیهی، دترمینان ضرایب معادله فوق را باید برابر با صفر گرفت:

$$\det \left(\vec{M} + \frac{1}{n^2} \vec{I} \right) = 0 \quad (5)$$

با حل معادلات (۴) و (۵) مد‌های نرمال و ضریب شکست مربوط به هر مد بدست می‌آید. میدان الکتریکی و مغناطیسی مربوط به هر مد با استفاده از روابط زیر محاسبه می‌شود:

$$\vec{E} = \frac{\vec{\eta}}{\epsilon_0} \vec{D} \quad \vec{H} = \frac{\vec{\zeta}}{\mu_0} \vec{B} \quad (6)$$

ضرایب ثابت این بردارها به گونه‌ای بهنجار می‌شوند که: $\vec{E} \cdot \vec{E} = 1$ و $\vec{H} \cdot \vec{H} = 1$ و در نهایت راستای انتشار پرتو که همان راستای انتشار انرژی است از محاسبه بردار پوینتینگ بدست می‌آید:

$$\vec{S} = \vec{E} \times \vec{H} \quad (7)$$

با استفاده از این ساختار مسیر انتشار پرتو برای هر مد در داخل محیط ناهمسانگرد قابل محاسبه است.

۲-۱- تابش عمود بر لایه ناهمسانگرد

یک لایه‌ی ناهمسانگرد در نظر بگیرد که از ۳ محور اصلی فقط یک محور (در اینجا x) در امتداد محور مختصات انتخابی و دو تای دیگر نسبت به محورهای مختصات چرخیده‌اند (شکل ۱). در این بخش مسیر نوری که بصورت عمود در صفحه y-z بر این لایه فرود می‌آید بررسی می‌شود. بدون از دست دادن کلیت مسئله این لایه را می‌توان یک لایه تک محوری در نظر گرفت که محور اپتیکی آن در صفحه y-z قرار دارد و با محور z زاویه‌ی θ می‌سازد. هنگامی که نور بصورت عمود بر لایه می‌تابد فارغ از اینکه چه قطبشی دارد راستای بردار موج در لایه، همان راستای تابش $\hat{U} = \hat{z}$ است.

حال با استفاده از ساختاری که در قسمت قبل توسعه

که $g_{0,0} \neq -1$ و $g_{1,1} = 1$ بنابراین متریک (۱۹) فضا-زمان تهی و خمیده را توصیف می‌کند.

$$\bar{S} = \frac{1}{\sqrt{\varepsilon_2^2 \sin^2 \theta + \varepsilon_3^2 \cos^2 \theta}} \begin{pmatrix} 0 \\ (\varepsilon_2 - \varepsilon_3) \sin \theta \cos \theta \\ \varepsilon_2 \sin^2 \theta + \varepsilon_3 \cos^2 \theta \end{pmatrix} \quad (12)$$

۳- نتیجه‌گیری

در این تحقیق نشان دادیم که پرتو عادی و غیر عادی در محیط‌های ناهمسانگرد غیر تطبیق امپدانس فضا-زمان جداگانه‌ای را احساس می‌کنند. همچنین، محیط ناهمسانگرد با محورهای اپتیکی متغیر، فضا-زمانی خمیده با متریک (۱۹) را برای پرتو‌هایی با قطبش در صفحه مانسته می‌سازند.

همانطور که دیده می‌شود راستای انتشار پرتو غیرعادی به خصوصیات ماده و جهت‌گیری محورهای اصلی آن با راستای بردار موج بستگی دارد. اگر این مشخصات در محیط ناهمسانگرد در مسیر نور تغییر کند. مسیر نور بطور پیوسته تغییر خواهد کرد.

۲-۲- متریک معادل با محیط‌های ناهمسانگرد

با دانستن راستای انتشار پرتو و ضریب شکست، متریک فضای خمیده‌ای که پرتو غیرعادی در عبور از سامانه‌ای به شکل (۱) می‌بیند قابل محاسبه است. جزء طول مسیر اپتیکی که پرتو غیرعادی در این سامانه می‌پیماید به شکل $n_r^2 dl^2$ است. که $n_r = n(\theta) \cos \phi$. بنابراین جزء طول اپتیکی در فضا-زمان بصورت زیر درمی‌آید:

$$ds^2 = -c^2 dt^2 + n_r^2 dl^2 \quad (13)$$

فاصله در فضا-زمان خمیده برحسب متریک \bar{g} بصورت زیر بیان می‌شود:

$$ds^2 = g_{\mu\nu} dx^\mu dx^\nu \quad (14)$$

با مشابهت بین روابط (۱۳) و (۱۴) متریک فضا-زمان برای پرتو غیرعادی به شکل زیر بدست می‌آید:

$$\bar{g} = \begin{pmatrix} -1 & 0 \\ 0 & n_r^2(\theta)(1 + \tan^2 \phi) \end{pmatrix} \quad (17)$$

که ϕ راستای انتشار پرتو است.

$$\tan \phi = \frac{(E_2 - E_3) \sin \theta \cos \theta}{\varepsilon_2 \sin^2 \theta + \varepsilon_3 \cos^2 \theta} \quad (18)$$

متریک (۱۷) همدیس با فضا-زمان خمیده‌ای با متریک زیر می‌باشد:

$$\bar{g} = \begin{pmatrix} -\frac{1}{n^2(\theta)} & 0 \\ 0 & 1 \end{pmatrix} \quad (19)$$

مراجع

- [1] Barceló, Carlos, Stefano Liberati, and Matt Visser. "Analogue gravity." *Living Rev. Rel* 8.12 (2005): 214.
- [2] Pendry, John B., David Schurig, and David R. Smith. "Controlling electromagnetic fields." *science* 312.5781 (2006): 1780-1782.
- [3] Leonhardt, Ulf, and Thomas G. Philbin. "General relativity in electrical engineering." *New Journal of Physics* 8.10 (2006): 247.
- [4] Hegde, S. S., and C. V. Vishveshwara. "Optical analogues of spherically symmetric black hole spacetimes." *Journal of Physics: Conference Series*. Vol. 484. No. 1. IOP Publishing, 2014.
- [5] Narimanov, Evgenii E., and Alexander V. Kildishev. "Optical black hole: Broadband omnidirectional light absorber." *Applied Physics Letters* 95.4 (2009): 041106.
- [6] Lane, Christopher. "Wave Propagation in Anisotropic Media." *The Development of a 2D Ultrasonic Array Inspection for Single Crystal Turbine Blades*. Springer International Publishing, (2014). 13-39.
- [7] Dehdashti, Sh, R. Roknizadeh, and A. Mahdifar. "Analogue special and general relativity by optical multilayer thin films: the Rindler space case." *Journal of Modern Optics* 60.3 (2013): 233-239.
- [8] Leonhardt, Ulf, and Thomas Philbin. *Geometry and Light: The Science of Invisibility*. Courier Dover Publications, 2010.
- [9] McCall, Martin. "Transformation optics and cloaking." *Contemporary Physics* 54.6 (2013): 273-286.
- [10] Cai, Wenshan, et al. "Optical cloaking with metamaterials." *Nature photonics* 1.4 (2007): 224-227.
- [11] Cai, Wenshan, and Vladimir M. Shalaev. *Optical metamaterials*. Vol. 10. Berlin, Germany: Springer, 2010.
- [12] Hao, Jiaming, and Lei Zhou. "Electromagnetic wave scatterings by anisotropic metamaterials: Generalized 4x4 transfer-matrix method." *Physical Review B* 77.9 (2008): 094201.
- [13] Teich, MALVIN CARL, and B. E. A. Saleh. "Fundamentals of photonics." Canada, Wiley Interscience (1991): 3.
- [14] Yeh, Pochi. "Optics of anisotropic layered media: a new 4x4 matrix algebra." *Surface Science* 96.1 (1980): 41-53.